

DOUBLE TRIODE for use as R.F. amplifier and self-oscillating mixer

DOUBLE TRIODE pour utilisation comme amplificateur H.F.  
et tube mélangeur-auto-oscillateur

DOPPELTRIODE zur Verwendung als HF-Verstärker und  
selbstschwingende Mischröhre

Heating : indirect by A.C. or D.C.;  
series supply

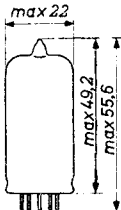
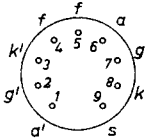
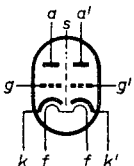
Chauffage: indirect par C.A. ou C.C.;  
alimentation série

Heizung : indirekt durch Wechsel-  
oder Gleichstrom; Serien-  
speisung

$V_f = 26$  V

$I_f = 100$  mA

Dimensions in mm  
Dimensions en mm  
Abmessungen in mm



Base, culot, Sockel: NOVAL

#### Capacitances

#### Capacités

#### Kapazitäten

$$C_{ag} = 1,5 \text{ pF}$$

$$C_{a'g'} = 1,5 \text{ pF}$$

$$C_{ak} = 0,18 \text{ pF}$$

$$C_{a'k'} = 0,18 \text{ pF}$$

$$C_{a(k+f+s)} = 1,2 \text{ pF}$$

$$C_{a'(k'+f+s)} = 1,2 \text{ pF}$$

$$C_{g(k+f+s)} = 3 \text{ pF}$$

$$C_{g'(k'+f+s)} = 3 \text{ pF}$$

$$C_{a(k+f+s)} = 1,9 \text{ pF}^1)$$

$$C_{a'(k'+f+s)} = 1,9 \text{ pF}^1)$$

$$C_{aa'} < 0,04 \text{ pF}$$

$$C_{ak'} < 0,008 \text{ pF}$$

$$C_{aa'} < 0,008 \text{ pF}^1)$$

$$C_{gk'} < 0,003 \text{ pF}$$

$$C_{gg'} < 0,003 \text{ pF}$$

$$C_{a'k} < 0,008 \text{ pF}$$

$$C_{ag'} < 0,008 \text{ pF}$$

$$C_{g'k} < 0,003 \text{ pF}$$

$$C_{a'g} < 0,008 \text{ pF}$$

<sup>1)</sup>With external shield (22.5 mm diameter)

Avec blindage extérieur (diamètre 22,5 mm)

Mit äusserer Abschirmung (22,5 mm Durchmesser)

DOUBLE TRIODE for use as R.F. amplifier and self-oscillating mixer  
 DOUBLE TRIODE pour utilisation comme amplificateur H.F.  
 et tube mélangeur-auto-oscillateur  
 DOPPELTRIODE zur Verwendung als HF-Verstärker und  
 selbstschwingende Mischröhre

Heating : indirect by A.C. or D.C.;  
 series supply

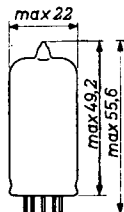
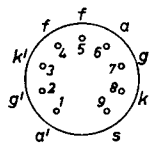
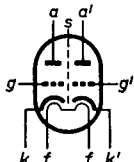
Chauffage: indirect par C.A. ou C.C.;  
 alimentation série

Heizung : indirekt durch Wechsel-  
 oder Gleichstrom; Serien-  
 speisung

$V_f = 26$  V

$I_f = 100$  mA

Dimensions in mm  
 Dimensions en mm  
 Abmessungen in mm



Base, culot, Sockel: NOVAL

Capacitances

Capacités

Kapazitäten

|                |   |                        |                  |   |                      |
|----------------|---|------------------------|------------------|---|----------------------|
| $C_{ag}$       | = | 1,5 pF                 | $C_{a'g'}$       | = | 1,5 pF               |
| $C_{ak}$       | = | 0,18 pF                | $C_{a'k'}$       | = | 0,18 pF              |
| $C_{a(k+f+s)}$ | = | 1,2 pF                 | $C_{a'(k'+f+s)}$ | = | 1,2 pF               |
| $C_{g(k+f+s)}$ | = | 3 pF                   | $C_{g'(k'+f+s)}$ | = | 3 pF                 |
| $C_{a(k+f+s)}$ | = | 1,9 pF <sup>1)</sup>   | $C_{a'(k'+f+s)}$ | = | 1,9 pF <sup>1)</sup> |
| $C_{aa'}$      | < | 0,04 pF                | $C_{ak'}$        | < | 0,008 pF             |
| $C_{aa'}$      | < | 0,008 pF <sup>1)</sup> | $C_{gk'}$        | < | 0,003 pF             |
| $C_{gg'}$      | < | 0,003 pF               | $C_{a'k}$        | < | 0,008 pF             |
| $C_{ag'}$      | < | 0,008 pF               | $C_{g'k}$        | < | 0,003 pF             |
| $C_{a'g}$      | < | 0,008 pF               |                  |   |                      |

1)With external shield (22.5 mm diameter)

Avec blindage extérieur (diamètre 22,5 mm)

Mit äusserer Abschirmung (22,5 mm Durchmesser)

Typical characteristics  
Caractéristiques types  
Kenndaten

|       |   |                    |      |          |
|-------|---|--------------------|------|----------|
| $V_a$ | = | 100                | 170  | 200 V    |
| $V_g$ | = | -1,1 <sup>1)</sup> | -1,5 | -2,1 V   |
| $I_a$ | = | 4,5                | 10   | 10 mA    |
| $S$   | = | 4,6                | 6,2  | 5,8 mA/V |
| $\mu$ | = | 50                 | 50   | 48       |

Operating characteristics as R.F. amplifier in F.M./A.M.  
receivers (system a,g,k)  
Caractéristiques d'utilisation en amplificateur H.F. dans  
des récepteurs F.M./A.M. (système a,g,k)  
Betriebsdaten als HF-Verstärker in FM/AM-Empfängern (Sys-  
tem a,g,k)

|                           |   |      |      |          |
|---------------------------|---|------|------|----------|
| $V_b$                     | = | 170  | 170  | 100 V    |
| $R_a$                     | = | 1,3  | 1,5  | 1,5 kΩ   |
| $V_a$                     | = | 160  | 155  | 92 V     |
| $R_k$                     | = | 330  | 160  | 160 Ω    |
| $V_g$                     | = | -2   | -1,4 | -0,85 V  |
| $I_a$                     | = | 6    | 8,7  | 5,2 mA   |
| $S$                       | = | 4,7  | 6    | 5,2 mA/V |
| $R_i$                     | = | 10,5 | 8,4  | 10 kΩ    |
| $r_g(f=100 \text{ Mc/s})$ | = | 8    | 6    | 7 kΩ     |
| $R_{eq}$                  | = | 0,65 | 0,5  | 0,58 kΩ  |

Operating characteristics as self-oscillating mixer in  
F.M./A.M. receivers (system a',g',k')  
Caractéristiques d'utilisation comme tube mélangeur auto-  
oscillateur dans des récepteurs F.M./A.M. (système a',g',k')  
Betriebsdaten als selbstschwingende Mischröhre in FM/AM-  
Empfängern (System a',g',k')

|                           |   |     |     |                    |
|---------------------------|---|-----|-----|--------------------|
| $V_b$                     | = | 100 | 170 | 200 V              |
| $R_a$                     | = | 4,7 | 4,7 | 8,2 kΩ             |
| $R_g$                     | = | 1   | 1   | 1 MΩ <sup>2)</sup> |
| $V_{osc}$                 | = | 1,8 | 2,8 | 2,8 Veff           |
| $I_a$                     | = | 2,2 | 4,8 | 5,2 mA             |
| $S_c$                     | = | 1,7 | 2,2 | 2,3 mA/V           |
| $R_i$                     | = | 20  | 16  | 15 kΩ              |
| $r_g(f=100 \text{ Mc/s})$ | = | -   | 15  | - kΩ               |

<sup>1)</sup><sup>2)</sup>See page 3; voir page 3; siehe Seite 3

Typical characteristics  
Caractéristiques types  
Kenndaten

|       |   |                    |      |          |
|-------|---|--------------------|------|----------|
| $V_a$ | = | 100                | 170  | 200 V    |
| $V_g$ | = | -1,1 <sup>1)</sup> | -1,5 | -2,1 V   |
| $I_a$ | = | 4,5                | 10   | 10 mA    |
| $S$   | = | 4,6                | 6,2  | 5,8 mA/V |
| $\mu$ | = | 50                 | 50   | 48       |

Operating characteristics as R.F. amplifier in F.M./A.M. receivers (system a,g,k)

Caractéristiques d'utilisation en amplificateur H.F. dans des récepteurs F.M./A.M. (système a,g,k)

Betriebsdaten als HF-Verstärker in FM/AM-Empfängern (System a,g,k)

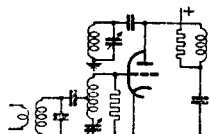
|                           |   |      |      |          |
|---------------------------|---|------|------|----------|
| $V_b$                     | = | 170  | 170  | 100 V    |
| $R_a$                     | = | 1,3  | 1,5  | 1,5 kΩ   |
| $V_a$                     | = | 160  | 155  | 92 V     |
| $R_k$                     | = | 330  | 160  | 160 Ω    |
| $V_g$                     | = | -2   | -1,4 | -0,85 V  |
| $I_a$                     | = | 6    | 8,7  | 5,2 mA   |
| $S$                       | = | 4,7  | 6    | 5,2 mA/V |
| $R_i$                     | = | 10,5 | 8,4  | 10 kΩ    |
| $r_g(f=100 \text{ Mc/s})$ | = | 8    | 6    | 7 kΩ     |
| $R_{eq}$                  | = | 0,65 | 0,5  | 0,58 kΩ  |

Operating characteristics as self-oscillating mixer in F.M./A.M. receivers (system a',g',k')

Caractéristiques d'utilisation comme tube mélangeur auto-oscillateur dans des récepteurs F.M./A.M.(système a',g',k')

Betriebsdaten als selbstschwingende Mischröhre in FM/AM-Empfängern (System a',g',k')

|                           |   |     |     |                      |
|---------------------------|---|-----|-----|----------------------|
| $V_b$                     | = | 100 | 170 | 200 V                |
| $R_a$                     | = | 4,7 | 4,7 | 8,2 kΩ               |
| $R_g$                     | = | 1   | 1   | 1 MΩ <sup>2)</sup>   |
| $V_{osc}$                 | = | 1,8 | 2,8 | 2,8 V <sub>eff</sub> |
| $I_a$                     | = | 2,2 | 4,8 | 5,2 mA               |
| $S_c$                     | = | 1,7 | 2,2 | 2,3 mA/V             |
| $R_i$                     | = | 20  | 16  | 15 kΩ                |
| $r_g(f=100 \text{ Mc/s})$ | = | -   | 15  | - kΩ                 |



<sup>1)</sup><sup>2)</sup>See page 3; voir page 3; siehe Seite 3

Limiting values (per system)  
Caractéristiques limites (par système)  
Grenzdaten (pro System)

|           |        |                      |
|-----------|--------|----------------------|
| $V_{a_0}$ | = max. | 550 V                |
| $V_a$     | = max. | 250 V                |
| $W_a$     | = max. | 2,5 W <sup>3</sup> ) |
| $-V_g$    | = max. | 100 V                |
| $R_g$     | = max. | 1 MΩ                 |
| $I_k$     | = max. | 15 mA                |
| $V_{kf}$  | = max. | 90 V                 |
| $R_{kf}$  | = max. | 20 kΩ                |

For curves of the UCC 85 please refer to type PCC 85  
Pour les caractéristiques du type UCC 85 voir le type  
PCC 85  
Für die Kurven der Röhre UCC 85 siehe Type PCC 85

→ 1) In this case grid current may occur. If this is not permissible, the negative grid bias should be increased to a value of -1.5 V at least

Dans ce cas il peut se présenter de courant de grille.  
Si ceci n'est pas permis, il faut augmenter la polarisation négative jusqu'à une valeur de -1,5 V au moins

Bei dieser Einstellung kann Gitterstrom fliessen; wenn das unzulässig ist, muss man eine Einstellung mit -1,5 V Gittervorspannung wählen

→ 2) At this value of  $R_g$  squeegging is prevented by feedback, which normally is applied in order to compensate for the  $R_i$  of the tube

A cette valeur de  $R_g$  la sur-oscillation est prévenue par réaction, qui normalement est appliquée afin de compenser la  $R_i$  du tube

Bei diesem Wert von  $R_g$  werden Überschwingungen vermieden durch Rückkopplung, die gewöhnlich angewandt wird zur Ausgleichung der  $R_i$  der Röhre

3)  $W_a + W_a' = \text{max. } 4,5 \text{ W}$

**Limiting values (per system)**  
**Caractéristiques limites (par système)**  
**Grenzdaten (pro System)**

|           |        |                     |
|-----------|--------|---------------------|
| $V_{a_0}$ | = max. | 550 V               |
| $V_a$     | = max. | 250 V               |
| $W_a$     | = max. | 2,5 W <sup>3)</sup> |
| $-V_g$    | = max. | 100 V               |
| $R_g$     | = max. | 1 MΩ                |
| $I_k$     | = max. | 15 mA               |
| $V_{kf}$  | = max. | 90 V                |
| $R_{kf}$  | = max. | 20 kΩ               |

For curves of the UCC 85 please refer to type PCC 85  
 Pour les caractéristiques du type UCC 85 voir le type  
 PCC 85  
 Für die Kurven der Röhre UCC 85 siehe Type PCC 85

<sup>1)</sup>In this case grid current may occur. If this is not permissible, the negative grid bias should be increased to a value of -1.5 V at least

Dans ce cas il peut se présenter de courant de grille.  
 Si ceci n'est pas permis, il faut augmenter la polarisation négative jusqu'à une valeur de -1,5 V au moins

Bei dieser Einstellung kann Gitterstrom fliessen; wenn das unzulässig ist, muss man eine Einstellung mit -1,5 V Gittervorspannung wählen

<sup>2)</sup>At this value of  $R_g$  squeegging is prevented by feedback, which normally is applied in order to compensate for the  $R_i$  of the tube

A cette valeur de  $R_g$  la sur-oscillation est prévenue par réaction, qui normalement est appliquée afin de compenser la  $R_i$  du tube

Bei diesem Wert von  $R_g$  werden Überschwingungen vermieden durch Rückkopplung, die gewöhnlich angewandt wird zur Ausgleichung der  $R_i$  der Röhre

<sup>3)</sup> $W_a + W_a' = \text{max. } 4,5 \text{ W}$

**PHILIPS**

*Electronic*  
*Tube*

**HANDBOOK**

**UCC85**

| <b>page</b> | <b>sheet</b> | <b>date</b> |
|-------------|--------------|-------------|
| 1           | 1            | 1954.11.11  |
| 2           | 1            | 1955.09.09  |
| 3           | 2            | 1954.11.11  |
| 4           | 2            | 1955.09.09  |
| 5           | 3            | 1954.11.11  |
| 6           | 3            | 1955.09.09  |
| 7           | FP           | 2000.06.13  |